



## Evaluation of the Hydrological Response of Kiwi Chai Catchment Area to Land Use Changes Using SWAT Model

Shirin Mahdavian<sup>1</sup>, Batol Zeynali<sup>2\*</sup> and Bromand Salahi<sup>3</sup>

1)phd. Student of climatology, Faculty of Literature and Sciences, Mohaghegh Ardabili University, Ardabil, Iran.

2)Associate Professor, Faculty of Literature and Sciences, Mohaghegh Ardabili University, Ardabil, Iran.

3)Professor, Department of natural geography, Faculty of Literature and Sciences, Mohaghegh Ardabili University, Ardabil, Iran.

\*Corresponding author email: zeynali.b@uma.ac.ir

### Abstract:

**Introduction:** Land use change has a direct impact on hydrological components and water resources and plays an important role in aggravating possible risks such as drought and floods. Therefore, it is necessary to investigate the effects of land use on water components such as runoff. Thus, in this study, the runoff condition of the Kiwi Chai Basin, one of the most important basins in Ardabil province, from an environmental point of view in terms of land use change is investigated using the SWAT model.

**Methods:** ArcGIS 10.1, Envi 5.1, and Ecognition software are used for data processing, classification, and analysis. Also, the method based on radiative transfer models, such as FLAASH, is used as the best method for atmospheric correction. Multiresolution algorithm is applied for segmentation and the nearest neighbor algorithm is used for classification. Then, educational samples are collected from the area using field visits and Google Earth satellite images and used to evaluate the accuracy and precision of the classification. At the end, the Thematic change dynamic detection method is applied in Envi5 to identify the changes that have happened over the years. The SWAT hydrological model is additionally used to investigate the effect of land use changes on the basin's runoff. After extracting the effective parameters in the basin's outlet, the model is calibrated and validated with SWAT-CUP software and SUFI-2 algorithm. Nash-Sutcliffe indices and coefficient of determination are used to evaluate the results of this stage.

**Results:** In this research, after applying object-oriented land classification, land use map in seven classes of Rainfed agriculture, irrigated agriculture, garden, forest, residential, pasture and water are provided. In the land use map of the basin, pasture cover is the dominant land use class; however, a significant decrease from 1224.18 square kilometers to 1046.59 square kilometers has been observed between 1987 and 2019. The values obtained for R-Factor, P-Factor, R2, NS indicators in the calibration period are, respectively, for Abgarm station (0.53, 0.47, 0.71, 0.69) and for Firozabad station (0.32, 0.3, 0.67, 0.64) and in the validation period, for Abgram station (0.09, 0, 0.62, 0.56) and for Firozabad station (0.13, 0, 0.53, 0.51), respectively. Based on this, the results obtained in the calibration and validation stage are evaluated as acceptable. The evaluation of the SWAT model's response to land use also shows that, on an annual scale, the amount of flow in Firozabad station has decreases from 3.08 to 2.81 cubic meters per second (-8.77percent) and in Abgarm station from 1.11 to 0.96 cubic meters per second (-13.51), which can be attributed to changes in land use, especially the change in the use of pastures and its conversion to rainfed agriculture, gardens, and forests.

**Conclusion:** The trend of land use changes in the basin between 1987 and 2019 has been accompanied by a decreasing trend in rainfed, pasture and water uses and an increasing trend in irrigated agriculture, garden, forest, and residential uses. The high value of the fit of the indicators used in the evaluation of the model indicates that the model has a good capability in simulating the runoff of the basin. Moreover, the model implemented for different land uses illustrates that the flow of the basin in both hydrometric stations in most of the months increase in the short term and decrease in the long term average with the land use change. Continuous land use change is becoming a serious threat to watersheds. Land use change should be controlled in catchment areas, and measures should be taken to stabilize land use change.

**Keywords:** Land use change, SWAT, modeling, remote sensing, Kivi Chai basin



شہزادہ احمد علی خاں  
شہزادہ احمد علی خاں

## ارزیابی واکنش هیدرولوژیکی حوضه آبریز کیوی چای به تغییرات کاربری اراضی با استفاده از مدل SWAT

<sup>۱</sup>شیرین مهدویان، <sup>۲</sup>بتول زینالی و <sup>۳</sup>برومند صلاحی

- (۱) دانشجوی دکتری اقلیم شناسی، دانشکده ادبیات و علوم انسانی، دانشگاه محقق اردبیلی، اردبیل، ایران.
  - (۲) دانشیار گروه جغرافیای طبیعی، دانشکده ادبیات و علوم انسانی، دانشگاه محقق اردبیلی، اردبیل، ایران.
  - (۳) استاد گروه جغرافیای طبیعی، دانشکده ادبیات و علوم انسانی، دانشگاه محقق اردبیلی، اردبیل، ایران.

\*ایمیل نویسنده مسئول: zeynali.b@uma.ac.ir

چکیدہ:

**زیسته و هدف:** تغییر کاربری اراضی به صورت مستقیم بر روی مؤلفه‌های هیدرولوژیکی و منابع آبی تأثیرگذار است و نقش مهمی در تشدید خطرات احتمالی همچون خشکسالی و سیلاب دارد. لذا بررسی اثرات کاربری اراضی بر مؤلفه‌های آبی همچون رواناب امری ضروری است.

**روش پژوهش:** برای پردازش، طبقه‌بندی و تجزیه و تحلیل داده‌ها از نرم‌افزارهای Envi5.1، ArcGIS10.1 و Ecognition استفاده شد. همچنین از روش مبتنی بر مدل‌های انتقال تابشی چون FLAASH به عنوان بهترین روش برای تصحیح اتمسفری استفاده شد. برای سگمنتاسازی از الگوریتم Multiresolution و برای طبقه‌بندی از الگوریتم زدیک‌ترین همسایگی استفاده شد. سپس نمونه‌های تعییمی از سطح منطقه با استفاده از بازدیدهای میدانی و تصاویر ماهواره Google Earth جمع‌آوری شد و برای ارزیابی صحت و دقت طبقه‌بندی بکار رفت. در انتها از روش تشخیص تغییرات thematic change dynamic در Envi5 برای شناسایی تغییراتی که طی سال‌ها اتفاق افتد این استفاده شد. برای بررسی تأثیر تغییرات کاربری اراضی روی رواناب حوضه نیز از مدل هیدرولوژیکی SWAT استفاده شد. بعد از استخراج پارامترهای مؤثر در حوضه خروجی مدل با نرم‌افزار SUFI-2 و الگوریتم SWAT-CUP واسنجی و اعتبارسنجی شد. برای ارزیابی نتایج این مدل از انتقال کاربری و تغییرات اقلیمی استفاده شد.

**یافته‌ها:** در این پژوهش، پس از اعمال طبقه‌بندی اراضی به روش شی‌گرایانه، نقشه کاربری اراضی در هفت کلاس؛ کشاورزی دیم، کشاورزی آبی، باغ، جنگل، مسکونی، مرتع و آب تهیه گردید. در نقشه کاربری اراضی حوضه، پوشش مرتع، طبقه غالب کاربری زمین است؛ با این حال، کاهش قابل توجه از ۱۲۲۴/۱۸ کیلومتر مربع به ۱۰۴۶/۵۹ کیلومتر مربع بین سال‌های ۱۹۸۷ و ۲۰۱۹ مشاهده شده است. مقادیر بدست آمده برای شاخص‌های NS-R-Factor, P-Factor, R<sup>2</sup>-Factor, R<sup>2</sup> در دوره و استنجی به ترتیب برای ایستگاه آبگرم (۰/۶۹)، (۰/۷۱)، (۰/۴۷)، (۰/۰۳) و برای ایستگاه فیروزآباد (۰/۶۴)، (۰/۶۷)، (۰/۳۲)، (۰/۳)، (۰/۶۲)، (۰/۰۹) و برای ایستگاه فیروزآباد (۰/۵۳)، (۰/۰)، (۰/۱۳)، (۰/۰) است. بر این اساس نتایج به دست آمده در مرحله و استنجی و اعتبارستنجی قابل قبول ارزیابی شد. ارزیابی پاسخ مدل SWAT به کاربری زمین نیز نشان داد در مقیاس سالانه نشان می‌دهد که میزان جریان در ایستگاه فیروزآباد ۳/۰۸ به ۲/۸۱ متر مکعب بر ثانیه (۸/۷۷- درصد) و در ایستگاه آبگرم از ۱/۱۱ به ۰/۹۶ متر مکعب بر ثانیه (۱۳/۵۱) کاهش یافته است که علت آن را می‌توان ناشی از نقصیات کاربری، اراضی خصوصی تغییر، کاربری مانع و تدبیاً آن: به: باعت دینه و باغات و ننگا ها دانست.

**نتایج:** روند تغییرات کاربری اراضی حوضه بین سال های ۱۹۸۷ تا ۲۰۱۹ در کاربری های کشاورزی دیم، مرتع و پهنه های آبی با روند کاهشی در کاربری های کشاورزی آبی، باغ، جنگل و مسکونی با روند افزایشی همراه بوده است. بالا بودن مقدار برازش معیارهای بکار رفته در ارزیابی مدل بیانگر این است که مدل قابلیت خوبی در شبیه سازی رواناب حوضه دارد. همچنین مدل اجرا شده برای کاربری های مختلف زمین نشان داد که جریان حوضه در هر دو ایستگاه هیدرومتری با تغییر کاربری اراضی در اکثر ماهها در کوتاه مدت افزایش و در میانگین درازمدت کاهش می باشد. تداوم تغییر کاربری زمین در حال تبدیل شدن به یک تهدید جدی برای حوضه های آبریز است. تغییر کاربری اراضی باید در حوضه های آبریز کنترل شود و اقداماتی برای تثبیت تغییر کاربری زمین انجام شود.

**کلید واژه‌ها:** تغییر کاربری اراضی، SWAT، مدل‌سازی، سنجش از دور، حوضه آبریز کیوی چای

نشریه حفاظت منابع آب و خاک

آدوس، تاونما:

<https://wsrccj.srbiau.ac.ir>

پست الکترونیک:  
[iauwsrjc@srbiau.ac.ir](mailto:iauwsrjc@srbiau.ac.ir)  
[iauwsrjc@gmail.com](mailto:iauwsrjc@gmail.com)

سال دوازدهم

شما، ه جهاد (۴۸)

تاسستان ۱۴۰۲

تا، نخ د، سافت:

۱۴۰۱/۶/۲۱

تاء، نون، ميم

150-151-152

صفحات: ٤٣-٥٧



## مقدمه

سلامت و رفاه انسان، امنیت غذایی و تحولات صنعتی به تأمین آب کافی وابسته است، اما منابع آب تحتتأثیر پارامترهای زیادی قرار می‌گیرد ایجاد رابطه بین این پارامترها تمرکز اصلی مدل سازی هیدرولوژیکی از شکل ساده آن (هیدروگراف واحد) تا مدل‌های نسبتاً پیچیده مبتنی بر معادلات جریان کاملاً دینامیکی است. یکی از پارامترهایی که بر کمیت آب جاری در یک حوضه آبریز تأثیر می‌گذارد، کاربری اراضی حوضه آبریز است (Getachew and Melesse.,2012). تغییر کاربری اراضی دارای یکرونده اکولوژیکی جهانی غیرقابل انکار و قابل توجه است که به نوبه خود بر موجودیت آب تأثیر می‌گذارد (آکاروال<sup>۱</sup> و همکاران، ۲۰۱۲). تغییرات کاربری اراضی که به طور ویژه حاصل فعالیتهای انسانی است فرایندهای هیدرولوژیکی از قبیل تبخیر و تعرق، نفوذ، رواناب و همچنین تغییرات سطحی و زیرسطحی جریان را تحتتأثیر قرار می‌دهد. برای تجسم اثرات آتی تغییر کاربری اراضی بر جریان رودخانه، داشتن درک درستی از اثرات تغییرات کاربری تاریخی زمین بر سیستم هیدرولوژیکی حوضه آبریز مهم است.

ماهیت پویای کاربری زمین ناشی از افزایش جمعیت، گسترش بخش کشاورزی و تغییرات آبوهایی با سرعتی نگران‌کننده در دنیا رخ می‌دهد گسترش و تشدید کشاورزی، رشد مناطق شهری و استخراج سایر منابع طبیعی احتمالاً در دهه‌های آینده برای برآوردن نیازهای جمعیت فزاینده تسريع خواهد شد. علاوه بر این، دامنهای کوهستانی و تندر در برخی موارد بدون اقدامات حفاظتی در برابر فرسایش و تخریب زمین کشت می‌شود. از این‌رو، تشریح رابطه بین کاربری اراضی و وضعیت هیدرولوژیکی منطقه به ما این امکان را می‌دهد که بدانیم چگونه مقدار آب جاری به حوضه با تغییر کاربری زمین تغییر می‌کند؛ بنابراین، نیاز به تحقیقات علمی که تأثیر تغییرات کاربری اراضی را بر جریان رودخانه مشخص کند، ضروری است. دانش تأثیر تغییر کاربری اراضی بر هیدرولوژی حوضه آبریز، دولتهای محلی و سیاست‌گذاران را قادر می‌سازد تا استراتژی‌های واکنش مؤثر و مناسب را برای به حداقل رساندن اثرات نامطلوب تغییر یا اصلاحات کاربری اراضی در آینده تدوین و اجرا کنند. از این‌رو، هدف اصلی این مطالعه شناسایی تأثیر تغییر کاربری اراضی بر هیدرولوژی حوضه آبریز کیوی چای و پیشنهاد اقدامات اصلاحی با استفاده از مدل هیدرولوژیکی پارامتر توسعی شده ابزار ارزیابی خاک و آب (SWAT<sup>۲</sup>) و داده‌های موجود است. اهداف خاص این مطالعه عبارت‌اند از: (۱) ارزیابی تغییر کاربری اراضی حوضه آبریز در ۳۳ سال گذشته، (۲) بررسی کاربرد مدل SWAT برای حوضه آبریز کیوی چای و (۳) ارزیابی تأثیر تغییر کاربری اراضی بر روی جریان حوضه آبریز کیوی چای.

## مواد و روش‌ها

حوضه رودخانه کیوی چای با مجموع مساحت ۸۲۷ کیلومترمربع یکی از حوضه‌های آبریز سفیدرود است که در مختصات ۴۸ درجه و ۳۰ دقیقه تا ۴۸ درجه و ۳۵ دقیقه طول شرقی و ۳۷ درجه و ۴۰ دقیقه تا ۳۷ درجه و ۳۰ دقیقه عرض شمالی واقع شده است. این حوضه از شمال به حوضه آبریز قره‌سو، از غرب به حوضه آبریز رودخانه قرنقو و از شرق به رشته کوه‌های تالش و از جنوب به حوضه آبریز رودخانه قزل‌اوزن محدود می‌شود. بهطورکلی حوضه آبریز کیوی چای متشکل از رودخانه‌های اصلی به نام‌های هروآباد، آرپاچای و کیوی چای هست که با جهت جنوب-شرق - شمال غرب جریان یافته و پس از دریافت جریان رودخانه‌های فرعی سنگورچای و رودخانه گزار در ارتفاع ۸۶۰ متر از سطح دریا در بخش جنوب غربی از منطقه خارج و به رودخانه قزل‌اوزن تخلیه می‌گردد. میانگین بارندگی در این حوضه ۴۴۴ میلی‌متر بوده و ۸۶ تا ۹۴ تا درصد از مجموع بارندگی در ماه‌های فروردین و اردیبهشت رخ می‌دهد(Feyzolahpour Rajabi and,2014).

مرتفع‌ترین نقطه ارتفاعی به ۳۰۰۹ متر از سطح دریا در قله عجم داغ واقع در بخش خاوری و پست‌ترین محل با ارتفاع مطلق ۱۵۱۲ متر از سطح دریا مربوط به گلوگاه حوضه در بخش غربی حوضه هست. حضور کوه‌ها و تپه‌ها در بخش‌های وسیعی از اراضی حوضه آبریز کیوی چای موجب افزایش شیب و میزان پستی‌بلندی اراضی گردیده است (Madadi et al.,2012). شکل ۱ موقعیت حوضه کیوی چای و ایستگاه‌های سینوپتیک و باران‌سنگی محدوده داخل و نزدیک حوضه استفاده شده و جدول ۱ مشخصات گغرافیایی آن‌ها را نشان می‌دهد.

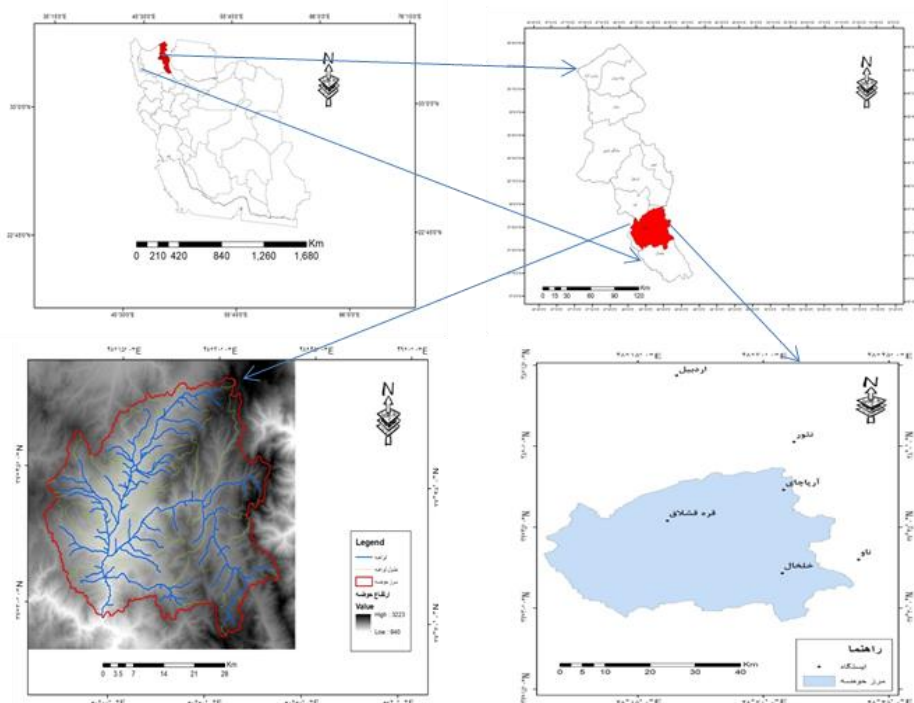
**جدول ۱. مشخصات گغرافیایی ایستگاه‌های هواشناسی و باران‌سنگی منطقه موردمطالعه**

ردیف	نام ایستگاه	ارتفاع	طول جغرافیایی	عرض جغرافیایی
۱	اردبیل	۱۳۳۵/۲	۴۸.۳۲۸	۳۸.۲۱۸
۲	آرپاچای	۲۴۸۰	۴۸.۵۴۱	۳۷.۸۶۵
۳	خلحال	۱۷۹۷/۴	۴۸.۵۳۸	۳۷.۶۰۸
۴	ناو	۱۰۰۰	۴۸.۶۹	۳۷.۶۵
۵	قره قشلاق	۱۳۸۰	۴۸.۳۰۹	۳۷.۷۷
۶	نور	۲۵۰۳	۴۸.۵۶۱	۳۸.۰۱۳

مجموعه‌داده‌های اساسی که توسط مدل هیدرولوژیکی SWAT موردنیاز است عبارت‌اند از:

### نقشه مدل رقومی ارتفاع (Dem)

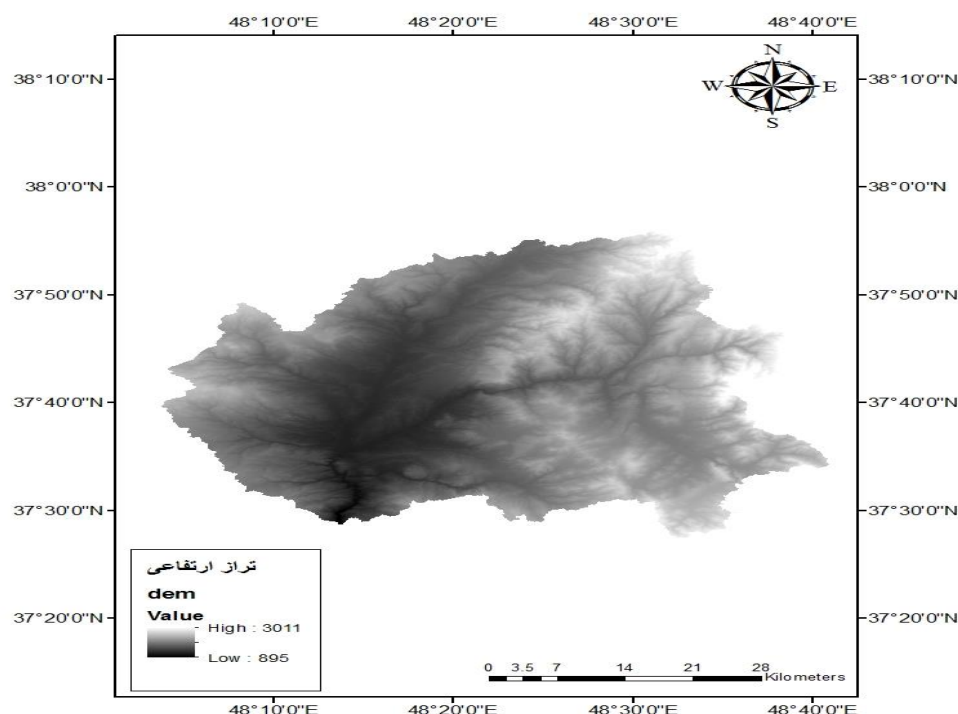
به منظور مدل‌سازی شرایط هیدرولوژیکی حوضه با مدل SWAT و از آنجایی که این نرم‌افزار تک‌بعدی نبوده، در جهت



شکل ۱. موقعیت حوضه آبریز کیوی چای در اردبیل و ایران و ایستگاه‌های هواشناسی و باران‌سنجی منطقه مورد مطالعه

زیرحوضه‌های منطقه محدوده مورد مطالعاتی، با مشخص کردن موقعیت ایستگاه هیدرومتری در جهت تعیین خروجی استخراج می‌شود. در این پژوهش از نقشه DEM با دقت ۲۸ متر استفاده گردیده است (شکل ۲).

استخراج آبراهه‌ها، مسیر جریان رودخانه و تعیین زیر حوضه‌ها منطقه نیازمند نقشه مدل رقومی ارتفاعی (DEM) است. با استفاده از نقشه مدل رقومی ارتفاعی و دستور کدنویسی برنامه که دربرگیرنده Arc Hydro است، خطوط جریان و



شکل ۲. نقشه مدل رقومی ارتفاع منطقه مورد مطالعه

### نقشه خاک

مدل SWAT به بافت خاک و خصوصیات فیزیکی شیمیایی، عمق و ساختمان خاک، عمق هر لایه خاک، مقدار شن و رس و سیلت، هدایت الکتریکی، کربن آلی، چگالی ظاهری و گروههای هیدرولوژیک خاک نیاز دارد. ازین‌رو، معرفی یک نقشه خاک مناسب نقش مهمی در پیشبرد اهداف کار دارد. جزئیات خاک‌شناسی منطقه مطابق جدول ۲ ارائه شده است. به دلیل عدم دسترسی به این اطلاعات از نقشه خاک جهانی و اطلاعات توصیفی FAO برای منطقه مورد مطالعاتی استفاده گردیده است.

جدول ۲. اطلاعات توصیفی موردنیاز در جهت تعریف خصوصیات خاک‌شناسی منطقه در SWAT

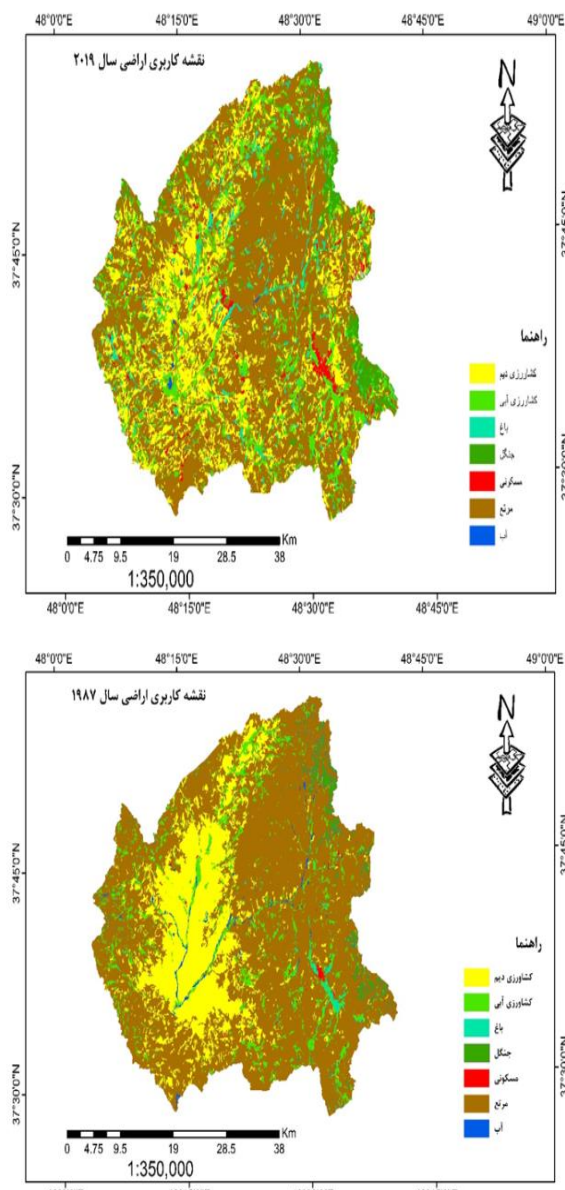
توضیحات	نوع بافت خاک	ردیف
تعداد لایه خاک	NLAYERS	۱
گروه هیدرولوژی بافت خاک	HYDGRP	۲
ماکریمم عمق ریشه‌دهانی در خاک	SOL-ZMX	۳
درصد تخلخل خاک فاقد آبیون	ANION-EXCEL	۴
حداکثر گنجایش شکاف پروفیل خاک	SOL-CRK	۵
بافت خاک	TEXTURE	۶
عمق هر لایه خاک	SOL-Z	۷
چگالی حجمی مرتبط	SOL-BD	۸
مقدار آب در دسترس	SOL-AWC	۹
هدایت هیدرولیکی اشباع	SOL-K	۱۰
مقدار کربن الی	SOL-CN	۱۱
مقدار رس	CLAY	۱۲
مقدار سیلت	SILT	۱۳
مقدار ماسه	SAND	۱۴
مقدار سنگریزه	ROCK	۱۵
البیدو خاک	SOL-ALB	۱۶
فاکتور K در معادله USLE	USLE-K	۱۷
هدایت الکتریکی	SOL-EC	۱۸

### داده‌های هیدرومتری و هواشناسی

پژوهش حاضر بر روی یک ایستگاه سینوپتیک (خلخال) دو ایستگاه باران‌سنگی (آرپاچای، قره قشلاق) واقع در حوضه آبریز کیوی چای و همچنین یک ایستگاه سینوپتیک (اردبیل) و دو ایستگاه باران‌سنگی نزدیک به حوضه (تغور و ناو) جهت پوشش نیمه شمالی حوضه به دلیل عدم وجود ایستگاه با دوره آماری بلندمدت در داخل حوضه در این بخش، انجام شده است که مشخصات آن‌ها در جدول ۱ آورده شده است. همچنین از دو ایستگاه هیدرومتری آبگرم و فیروزآباد با مشخصات زیر برای بررسی رواناب حوضه کیوی چای استفاده شد. داده‌های اقلیمی از مرکز آب و هواشناسی اردبیل و داده‌های هیدرومتری از مرکز منابع آب اردبیل اخذ شدند.

### کاربری زمین

نقشه‌های کاربری زمین با پردازش تصاویر Landsat TM, OLI با وضوح فضایی ۳۰ متر از سایت <http://earthexplorer.usgs.gov> استخراج گردید. طبقه‌بندی شیء‌گرا در نرم‌افزار Ecognition برای شناسایی کلاس‌های کاربری اصلی در حوضه آبریز مورداستفاده قرار گرفت. هفت کلاس اصلی شناسایی شد (شکل ۳). تغییرات کاربری اراضی برای حوضه آبخیز کیوی چای برای سال‌های مختلف ارزیابی شد.



شکل ۳. نقشه کاربری اراضی محدوده موردمطالعه سال‌های ۱۹۸۷ و ۲۰۱۹

SWAT با اتصال به نرم‌افزار GIS قابل استفاده است و می‌توان حجم زیادی از اطلاعات را در مقیاس‌های مختلف به عنوان ورودی برای آن در نظر گرفت. این مدل حجم وسیعی از داده‌های بارش، توبوگرافی، مرزهای حوضه آبریز و خصوصیات خاک و لایه زیرسطحی و کاربری اراضی و پوشش گیاهی، سیستم‌های انتقال رواناب و غیره جز ورودی آن است و برای شبیه‌سازی دبی روزانه رودخانه، برآورد رسوب روزانه کاربرد دارد (Arnold et al., 1999). مدل SWAT از معادله بیلان آب برای شبیه‌سازی به صورت زیر استفاده می‌کند:

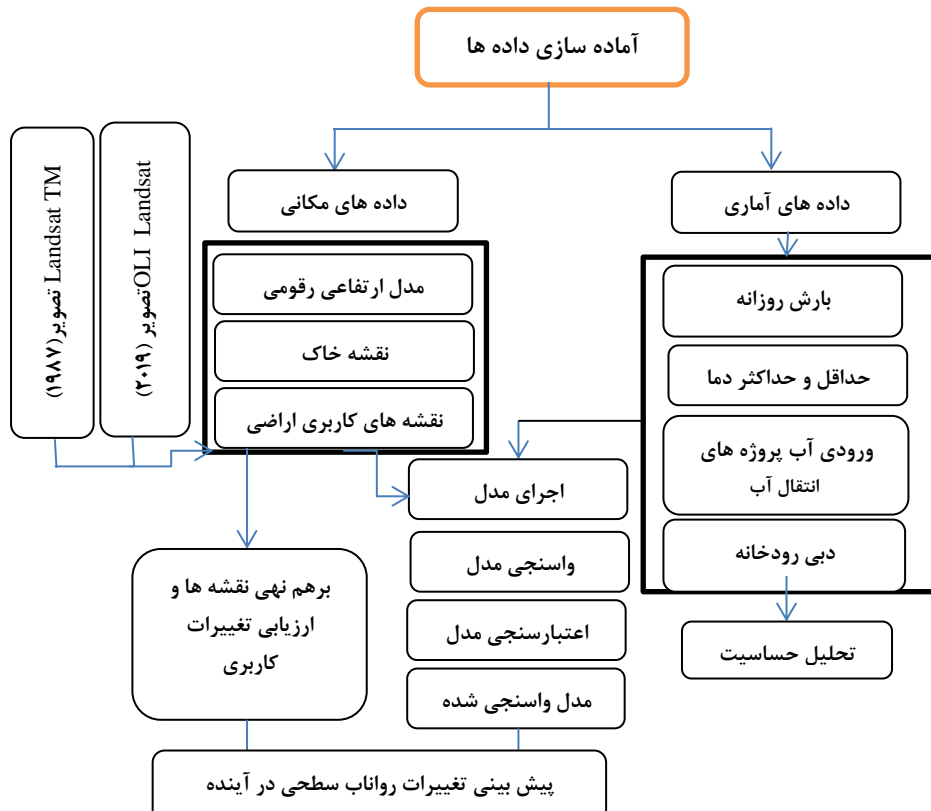
$$Sw_t = Sw_0 + \sum_{i=1}^t (R_{day} - Q_{surf} - E_a - W_{seep} - Q_{gw}) \quad (1)$$

که در آن  $s$  محتوای نهایی آب خاک (میلی‌متر)،  $S_0$  محتوای اولیه آب خاک (میلی‌متر)،  $t$  زمان (روز)،  $R_{day}$  مقدار بارندگی در روز  $i$  (میلی‌متر)،  $Q_{surf}$  مقدار رواناب سطحی در روز  $i$  (میلی‌متر)،  $E_a$  مقدار تبخیر و تعرق در روز  $i$  (میلی‌متر)،  $W_{seep}$  مقدار آب گذری در پروفیل زیرین خاک در روز  $i$  (میلی‌متر)،  $Q_{gw}$  مقدار جریان پایه در روز  $i$  (میلی‌متر) را نشان می‌دهد. شکل زیر نمودار مدل‌سازی جریان توسط SWAT را نشان می‌دهد.

جدول ۳. مشخصات جغرافیایی ایستگاه‌های هیدرومتری مورد مطالعه					
نام ایستگاه	نام رودخانه	عرض	طول	ارتفاع از سطح دریا	دوره آماری
آبکرم	هر چای	۴۸,۴۰	۳۷,۵۸	۱۵۳۵	۱۹۹۹-۲۰۱۰
فیروزآباد	فیروزآباد چای	۴۸,۲۲	۳۷,۶۹	۱۱۵۰	۱۹۹۷-۲۰۱۰

### توصیف مدل SWAT

مدل SWAT یک مدل هیدرولوژیکی حوضه آبریز است که توسط وزارت کشاورزی ایالات متحده در دهه ۱۹۹۰ برای پیش‌بینی اثرات آبوهوا، الگوهای مختلف کاربری زمین، و شرایط خاک بر روی رواناب رودخانه طراحی شده است (Haleem et al., 2021). یک مدل زمانی پیوسته در مقیاس حوضه که در مرحله زمانی روزانه عمل می‌کند و برای پیش‌بینی تأثیر مدیریت بر عملکرد آب، رسوب و مواد شیمیایی کشاورزی در حوضه‌های آبریز اندازه‌گیری نشده طراحی شده است. این مدل می‌تواند بر فیزیک، از نظر محاسباتی کارآمد و قادر به شبیه‌سازی مداوم در دوره‌های زمانی طولانی است. علاوه بر این، به طور گستره‌ای برای مدل‌سازی هیدرولوژی حوضه و شبیه‌سازی اثر شیوه‌های مختلف مدیریتی زمین (مکانی، زمانی) بر کمیت و کیفیت آب و رسوب در حوضه‌های پیچیده با توجه به شرایط مختلف اقلیمی و کاربری اراضی و نوع خاک در دوره‌های درازمدت استفاده شده است (Neitsch et al., 2011). مدل



شکل ۵. مراحل انجام مدل‌سازی و ارزیابی واکنش هیدرولوژیکی حوضه آبریز تحت تأثیر تغییر کاربری اراضی

### ارزیابی کاربری زمین

از دو تصویر ماهواره‌ای سنجنده TM لندهست ۵ (سال ۱۹۸۷/۶/۲) و سنجنده OLI لندهست ۸ (سال ۲۰۱۹) در تاریخ‌های نزدیک به هم از نظر روز تصویربرداری در یک بازه زمانی ۳۳ ساله برای ارزیابی روند تغییرات کاربری اراضی حوضه کیوی چای استفاده شد تا اثرات اختلاف فصلی پوشش گیاهی به حداقل برسد. بهمنظور ارزیابی صحت و اصلاح هندسی نقشه‌های کاربری اراضی از نقشه‌های توپوگرافی ۱:۲۵۰۰۰ سازمان نقشه‌برداری کشور استفاده شد. همچنین برای پردازش، طبقه‌بندی و تجزیه و تحلیل داده‌ها از نرم‌افزارهای Envi5.1.ArcGIS10.1 Ecognition و خصوصیات تصاویر و نقشه مورد استفاده در جدول ۴ آمده است.

جدول ۲. تصاویر ماهواره‌ای و نقشه توپوگرافی مورد استفاده

نوع داده	نام	نام منطقه	تاریخ میلادی
مورداستفاده	نام ماهواره	سنجنده	تصویر
تصویر ماهواره‌ای	کیوی چای	TM	لندهست ۵
تصویر ماهواره‌ای	کیوی چای	OLA	لندهست ۸
نقشه توپوگرافی	استان اردبیل	-	-
۱۹۸۷/۶/۲			
۲۰۱۹/۶/۱۰			
۲۰۰۳			

همچنین از روش مبتنی بر مدل‌های انتقال تابشی چون FLAASH به عنوان بهترین روش برای تصحیح اتمسفری استفاده شد. برای سگمنت سازی از الگوریتم Multiresolution و برای طبقه‌بندی از الگوریتم نزدیک‌ترین همسایگی استفاده شد. همچنین با توجه به در دسترس نبودن اطلاعات میدانی در بازه‌های زمانی انتخاب شده، بهمنظور تهیه نقشه کاربری اراضی از بررسی تصاویر رنگی کاذب، خصوصیات طیفی پدیده‌ها، آرشیو Google Earth، عکس‌های هوایی و نقشه‌های توپوگرافی سنواتی و پژوهش‌های انجام‌شده استفاده شد. در نهایت هفت کلاس غالب کاربری اراضی مشتمل بر کشاورزی دیم، کشاورزی آبی، باغ، جنگل، مسکونی، مرتع و آب تعیین شدند. سپس نمونه‌های تعلیمی از سطح منطقه با استفاده از بازدیدهای میدانی و تصاویر ماهواره Google Earth جمع‌آوری شد و برای ارزیابی صحت و دقت طبقه‌بندی بکار رفت. در نهایت از معمول ترین عامل‌های برآورد دقت شامل دقت کل و ضریب کاپا برای برآورد دقت طبقه‌بندی استفاده شد. دقت کل با استفاده از رابطه زیر محاسبه شد:

$$OA = \frac{1}{N} \sum p_{jj} \quad (2)$$

در این رابطه OA - دقت کلی، N - تعداد پیکسل‌های آزمایشی، جمع - عناصر قطر اصلی ماتریس خط

### اجرای مدل SWAT

مدل سازی هیدرولوژیکی حوضه آبریز کیوی چای با استفاده از ArcSWAT2012 انجام شد. حوضه را بر اساس مدل رقومی ارتفاع (DEM) به زیرحوضه‌ها ترسیم می‌کند. مدل رقومی ارتفاع (DEM) به مدل وارد شد و زیر حوضه‌های تشکیل‌دهنده آن نیز مشخص گردید. با درنظر گرفتن حداقل سطح زهکش ۵۰۰ هکتار، برای ترسیم زیر حوضه‌ها، تعداد ۱۱۸ زیر حوضه ترسیم شد. در مرحله بعد با استفاده از نقشه‌های رسته‌ی خاک، کاربری اراضی و تعیین طبقات شیب، واحدهای پاسخ هیدرولوژیکی تعریف گردید. برای این کار دو نقشه از قبل آماده شده بودند. طبقات شیب نیز در همین مرحله در محیط ArcGIS تهیه شد. با توجه به کوهستانی بودن منطقه چهار طبقه شیب ۰-۱۵، ۱۵-۳۰، ۳۰-۷۰ و بالاتر از ۷۰ در مدل تعریف گردید. همچنین برای بهبود شبیه‌سازی در نواحی کوهستانی (Bhatta et al., 2020) تعداد ۵ بازه ارتفاعی در هر زیر حوضه تعیین شد. در این مطالعه ۸۲۴ گروه پاسخ هیدرولوژیکی در نهایت ساخته شد. پس از آن داده‌های هواشناسی در بازه زمانی ابتدای سال ۱۹۹۴ تا انتهای سال ۲۰۱۷ به مدل داده شد و پارامترهای رطوبت نسبی، بارندگی، دمای حداقل و حداکثر، ساعت‌آفتابی و سرعت باد تعریف گردید. علاوه بر آن مشخصات فنی سدهای آبخیزداری نیز به مدل معرفی گردید. در انتهای مدل اجرا شد و نتایج شبیه‌سازی به صورت ماهانه در پوشش خروجی ذخیره گردید. لازم به ذکر است که دو سال اول به عنوان دوره دست‌گرمی در مدل در نظر گرفته شد.

### واسنجی و اعتبارسنجی مدل SWAT

ایستگاه‌های هیدرومتری فیروزآباد و آبگرم برای واسنجی مدل انتخاب شد تا پارامترهای غالب جریان را با استفاده از swat-cup و الگوریتم sufi2 ارزیابی کند. واسنجی فرایندی است برای ارزیابی برازش بین داده‌های مشاهده شده و شبیه‌سازی شده برای به دست آوردن مقادیر بهینه توابع هدف مانند کارایی نش - ساتکلیف (NSE)، ضریب تعیین ( $R^2$ )، خطای ریشه میانگین به نسبت انحراف استاندارد (RSR) و درصد اریبی (PBIAS). برای RSR و PBIAS، بهینه‌ترین مقدار صفر است، در حالی که برای  $R^2$  و NSE ۱ است. مقدار  $R^2$  از ۰ تا ۱ متغیر است. مقادیر نزدیک به ۱ بهترین نتایج را نشان می‌دهد، در حالی که بیشتر از ۰/۵ در محدوده قابل قبولی قرار دارد. پس از واسنجی، مدل برای داده‌های ماهانه از سال ۲۰۱۱ تا ۲۰۱۷ اعتبارسنجی شد.

جدول ۴. نتایج ارزیابی دقت تصویر طبقه‌بندی شده سال ۲۰۱۹			
طبقه کاربری	دقت	دقت کلی %	ضریب کاپا
تولیدکننده %	کاربر%		
کشاورزی دیم	۱۰۰	۹۹/۹۰	۹۱/۱
کشاورزی آبی	۱۰۰	۹۵/۲۲	۰/۹۲
باغ	۹۹/۵۱	۱۰۰	
جنگل	۱۰۰	۱۰۰	
مسکونی	۱۰۰	۹۹/۹۸	
مرتع	۱۰۰	۹۹/۹۸	
آب	۹۹/۳۶	۱۰۰	

انتخاب دقیق نمونه‌های آموزشی بر اساس نرمافزار Google Earth و آشنایی با منطقه مورد انتظار بود. به تورکی، تصاویر Landsat 8 با سنسور OLI، بالاترین دقت تولیدکننده، کاربر و دقت کلی را در تمام طبقات کاربری زمین به نمایش می‌گذارد.

#### طبقه‌بندی نقشه‌های کاربری زمین

در این پژوهش، پس از اعمال طبقه‌بندی اراضی به روش شیءگرای نقشه کاربری اراضی در هفت کلاس؛ کشاورزی دیم، کشاورزی آبی، باغ، جنگل، مسکونی، مرتع و آب تهیه گردید (شکل ۳). در نقشه کاربری اراضی حوضه، پوشش مرتع، طبقه غالب کاربری زمین است؛ با این حال، کاهش قابل توجه از ۱۲۲۴/۱۸ کیلومترمربع به ۱۰۴۶/۵۹ کیلومترمربع بین سال‌های ۱۹۸۷ و ۲۰۱۹ به ۱۰۴۶/۵۹ کیلومترمربع از ۱۳۷/۸۰ به ۳۸۸/۷۱ کیلومترمربع، باغ از ۱۰/۴۸ به ۳/۶۶ کیلومترمربع، جنگل از ۴۷/۳۵ به ۷۵/۴۷ کیلومترمربع و نواحی مسکونی از ۳/۶۶ به ۳۲/۶۴ کیلومترمربع افزایش یافته، در حالی که مساحت کشاورزی دیم از ۴۰/۴۰ به ۲۱۷/۰۴ کیلومترمربع، کاربری مرتع از ۱۲۲۴/۱۸ به ۱۰۴۶/۵۹ کیلومترمربع و آب از ۱۱۳۲ به ۳/۷۷ کیلومترمربع کاهش یافته است. جدول ۵ توزیع مساحت منطقه‌ای طبقات مختلف را بر حسب کیلومترمربع ارائه می‌دهد.

#### ماتریس انتقال تغییر کاربری اراضی

جدول ۶ ماتریس‌های انتقال کاربری اراضی ۱۹۸۷ به ۲۰۱۹ را ارائه می‌دهد در سال‌های ۱۹۸۷-۲۰۱۹ (جدول ۶)، کیلومترمربع از زمین‌های کشاورزی دیم به مرتع و (۱۱/۰۱)۱۰٪ به کشاورزی آبی تبدیل شده است. بیشترین انتقال کاربری اراضی، تبدیل کشاورزی دیم به مرتع با مقدار (۱۱/۶۲٪) ۲۱۱/۹۰ کیلومترمربع است. قابل ذکر است که ۶۷/۳۷ کیلومترمربع (۳/۶۹٪) از نواحی مسکونی بدون تغییر باقی‌مانده است. آب هم تا حد زیادی بدون تغییر باقی‌مانده است و فقط ۲/۳۱ کیلومترمربع (۰/۰۷٪) به مرتع تبدیل شده است. قابل ذکر است که ۱۰۴۶/۵۹ کیلومترمربع (۵۷/۳۸٪) از مرتع از سال ۱۹۸۷ تا ۲۰۱۹ تغییر کاربری داده است.

به دلیل ایرادات واردہ بر دقت کل اغلب در تحقیقاتی که مقایسه دقت طبقه‌بندی مدنظر است از شاخص اجرایی کاپا استفاده می‌شود. چون شاخص کاپا پیکسل‌های نادرست طبقه‌بندی شده را مورد توجه قرار می‌دهد. شاخص کاپا از رابطه زیر محاسبه می‌شود.

$$Kappa = \frac{p_0 - p_c}{1 - p_c} \times 100 \quad (۳)$$

که در آن  $P_0$  = درستی مشاهده شده،  $P_C$  = توافق مورد انتظار

#### تشخیص تغییرات کاربری اراضی

برای تعیین کمیت تغییرات زمانی و مکانی کاربری زمین در منطقه موردمطالعه، از یک روش شناسایی تغییر چند زمانه پس از طبقه‌بندی، استفاده شده است. یک روش خوب برای شناسایی تغییرات می‌باشد اطلاعات زیر را ارائه دهد: (الف) تغییر منطقه و میزان تغییر؛ (ب) توزیع فضایی انواع کاربری زمین تغییریافته؛ (ج) تغییر مسیر انواع کاربری زمین و (د) ارزیابی صحت نتایج تشخیص تغییر (Haque and Basak., 2017) در این تحقیق، روش تشخیص تغییرات Thematic change dynamic در Envi برای شناسایی تغییراتی که طی سال‌ها اتفاق افتاده بود، اجرا شد. TCD به آمار تغییر متکی است که مسیر تغییر را برای هر کلاس کاربری زمین مشخص می‌کند. برای تشخیص تغییرات هر کلاس کاربری زمین به کلاس دیگر در دوره‌های داده شده، آمار تغییرات برای سال‌های ۱۹۸۷-۲۰۱۹ محاسبه شد.

#### نتایج و بحث

ارزیابی دقت طبقه‌بندی نقشه‌های کاربری اراضی این بخش مقایسه نتایج صحت طبقه‌بندی را با استفاده از ماتریس خطأ و آماره‌های مربوطه (صحت کلی، ضریب کاپا، دقت کاربر و تولیدکننده هر کلاس) ارائه می‌دهد. نتایج ارزیابی صحت محاسبه شده برای تصاویر طبقه‌بندی شده سال‌های ۱۹۸۷ و ۲۰۱۹ در جداول ۳ و ۴ نشان داده شده است. دقت کلی برای تصاویر ۱۹۸۷ و ۲۰۱۹ به ترتیب ۸۲/۵٪ و ۹۱/۱٪ و ضرایب کاپا ۰/۹۰ و ۰/۹۲ به دست آمد. دقت طبقه‌بندی بالا به دلیل

#### جدول ۳. نتایج ارزیابی دقت تصویر طبقه‌بندی شده سال ۱۹۸۷

طبقه کاربری	دقت کاربر٪	دقت کلی٪	ضریب کاپا	تولیدکننده٪
کشاورزی دیم	۹۹/۵۱	۹۹/۵۱	۰/۹۰	۸۲/۵
کشاورزی آبی	۹۹/۸۶	۹۷/۶۴		
باغ	۹۷/۹۳	۹۸/۷۵		
جنگل	۹۶/۶۹	۹۹/۱۰		
مسکونی	۹۹/۶۹	۱۰۰		
مرتع	۹۹/۷۵	۸۷/۹۰		
آب	۹۷/۱۳	۱۰۰		

جدول ۵ توزیع مساحت کاربری اراضی سال‌های ۱۹۸۷ و ۲۰۱۹

		۱۹۸۷		کاربری اراضی
درصد	کیلومترمربع	درصد	کیلومترمربع	
۱۱/۹۰	۲۱۷/۰۴	۲۱/۳۹	۳۹۰/۴۰	کشاورزی دیم
۲۱/۳۱	۳۸۸/۷۱	۷/۵۵	۱۳۷/۸۰	کشاورزی آبی
۲/۳۴	۶۰/۹۷	۰/۵۷	۱۰/۴۸	باغ
۴/۱۴	۷۵/۴۷	۲/۵۹	۴۷/۳۵	جنگل
۱/۷۹	۳۲/۶۴	۰/۲۰	۳/۶۶	مسکونی
۵۷/۳۹	۱۰۴۶/۵۹	۶۷/۰۷	۱۲۲۴/۱۸	مرتع
۰/۱۳	۳/۷۷	۰/۶۲	۱۱/۳۲	آب
۱۰۰	۱۸۲۵/۲۱	۱۰۰	۱۸۲۵/۲۱	کل

جدول ۶ ماتریس انتقال تغییر کاربری زمین (کیلومترمربع) از ۱۹۸۷ به ۲۰۱۹

		۲۰۱۹		کاربری اراضی			
کل	آب	مرتع	مسکونی	جنگل	باغ	کشاورزی آبی	کشاورزی دیم
۳۸۸/۶۹	۲/۳۹ (۰/۱۳)	۲۱۱/۹۰ (۱۱/۶۲)	۰/۵۶ (۰/۰۳)	۳/۰۴ (۰/۱۷)	۰/۴۲ (۰/۰۲)	۲۰/۰۱ (۱/۱۰)	۱۵۰/۳۷ (۸/۲۵)
۲۱۷/۰۴	۲/۵۸ (۰/۱۴)	۹۳/۷۷ (۵/۱۴)	۰/۲۹ (۰/۰۲)	۱۲/۵۵ (۰/۶۹)	۷/۳۶ (۰/۴۰)	۵۷/۸۲ (۳/۱۷)	۴۲/۶۷ (۲/۳۴)
۶۰/۹۷	۱/۲۶ (۰/۰۷)	۳۰/۷۰ (۱/۶۸)	۰/۰۵ (۰)	۲/۱۵ (۰/۱۲)	۰/۹۲ (۰/۰۵)	۱۷/۴۰ (۰/۹۵)	۸/۴۸ (۰/۴۶)
۷۵/۴۷	۰/۰۵ (۰)	۴۸/۱۶ (۲/۶۴)	۰/۰۱ (۰)	۱۹/۸۴ (۱/۰۹)	۰/۱۷ (۰/۰۱)	۶/۴۴ (۰/۳۵)	۰/۸۰ (۰/۰۴)
۳۲/۶۳	۰/۵۷ (۰/۰۳)	۲۰/۰۵ (۱/۱۰)	۲/۲۹ (۰/۱۳)	۰/۲۴ (۰/۰۱)	۰/۷۶ (۰/۰۴)	۳/۱۰ (۰/۱۷)	۵/۶۱ (۰/۳۱)
۱۰۴۶/۵۹	۴/۳۵ (۰/۲۴)	۸۱۸/۰۹ (۴۴/۸۶)	۰/۴۴ (۰/۰۲)	۹/۲۶ (۰/۰۵۱)	۰/۸۱ (۰/۰۴)	۳۲/۴۰ (۱/۷۸)	۱۸۱/۲۲ (۹/۹۴)
۲/۳۱	۰/۱۲ (۰/۰۱)	۰/۳۸ (۰/۰۲)	۰ (۰)	۰/۰۴ (۰)	۰/۰۲ (۰)	۰/۵۱ (۰/۰۳)	۱/۲۴ (۰/۰۷)
۱۸۲۵/۲۱	۱۱/۳۲	۱۲۲۳/۰۵	۳/۶۵	۴۷/۱۳	۱۰/۴۷	۱۳۷/۶۹	۳۹۰/۳۹

اعداد داخل پرانتز درصد را نشان می‌دهد که به جمع کل هر کاربری زمین در سال ۱۹۸۷ اشاره دارد (ردیفها)

بازه زمانی (۱۹۹۶ تا ۲۰۱۰) و (۱۹۹۷ تا ۲۰۱۰) گردید، فرایند واسنجی مدل با تجزیه و تحلیل حساسیت برای انتخاب پارامترهای حاکم بر رودخانه مشاهده شده دنبال شد. در مجموع ۳۲ پارامتر مؤثر برای واسنجی مدل انتخاب شدند که در جدول ۷ نشان داده شده است. سپس بعد از استخراج پارامترهای مؤثر بر رواناب اقدام به اعتبارسنجی آن در بازه زمانی ۲۰۱۱ تا ۲۰۱۷ گردید و نتایج حاصله در جدول ۸ آورده شد. مقادیر بدست آمده برای شاخص‌های R-Factor, P-, Factor, R<sup>2</sup>, NS در دوره واسنجی به ترتیب برای ایستگاه آبگرم (۰/۶۹), (۰/۴۷, ۰/۰۵۳, ۰/۰۴۷, ۰/۰/۷۱) و برای ایستگاه فیروزآباد (۰/۶۴) و در دوره اعتبارسنجی برای ایستگاه آبگرم (۰/۶۷, ۰/۰۳, ۰/۰۳۲, ۰/۰۰) به ترتیب (۰/۰۵۶, ۰/۰/۶۲, ۰/۰۰۹) و برای ایستگاه فیروزآباد (۰/۰۵۱, ۰/۰۵۳, ۰/۰۰۵۱) است. برای این نتایج به دست آمده در مرحله واسنجی و اعتبارسنجی قابل قبول ارزیابی شد. همچنین هیدرولوگراف و پراکنده‌گی نقطه‌ای دیگر مشاهداتی در مقابل دیگر شیوه‌سازی در هر یک از بازه زمانی واسنجی و اعتبارسنجی در شکل‌های ۶ تا ۹ آورده شده است.

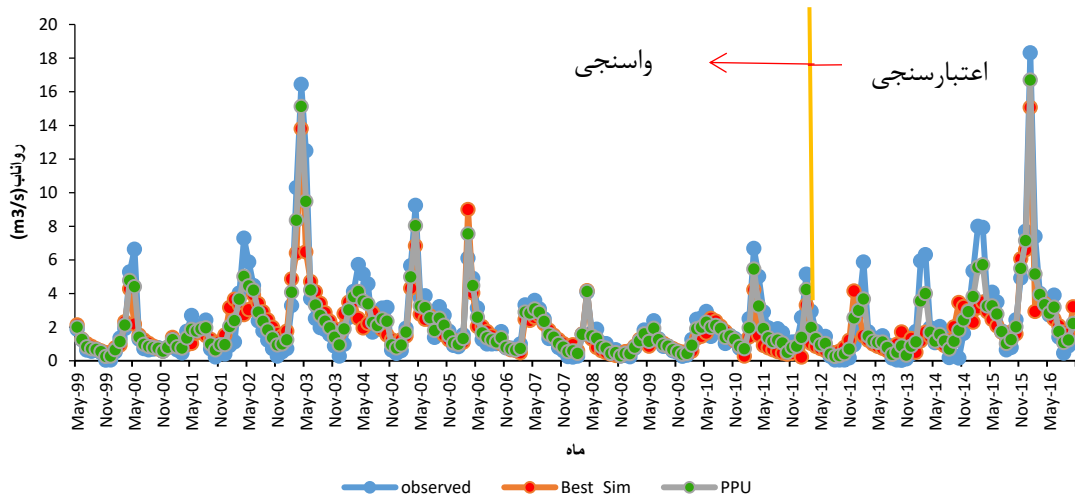
واسنجی و اعتبارسنجی جریان رودخانه هدف از واسنجی خروجی مدل SWAT در نرم‌افزار SWAT CUP به حداقل رساندن اختلاف بین مقادیر خروجی-های شبیه‌سازی شده با آمار مشاهده‌ای ایستگاه است. یک مدل ابتدا از داده‌های ورودی اندازه‌گیری شده و یا پیش‌فرض مدل، استخراج می‌شود و سپس خروجی‌های شبیه‌سازی شده با داده‌های مشاهده‌ای واسنجی می‌شود. یکی از مسائلی که هنگام واسنجی این مدل‌ها پیش می‌آید عدم قطعیت در شبیه‌سازی است که به دلیل عدم قطعیت در ورودی‌های مدل، عدم قطعیت در مدل مفهومی (ساختار مدل) و عدم قطعیت در پارامترهای مدل ایجاد می‌شود. در این مدل‌ها همچنین، به دلیل تعدد پارامترهای مدل و اثر جبرانی یا تشیدیدی پارامترها بر یکدیگر، اغلب چندین مجموعه پارامترهای کاملاً متفاوت می‌توانند به نتیجه مشابه و قابل قبول منتهی شوند (Lerat et al., 2020). برای این منظور با در دست داشتن آمار ماهانه ایستگاه‌های آبگرم و فیروزآباد در محدوده مورد مطالعاتی و انتخاب بازه زمانی ۱۹۹۴ تا ۱۹۹۵ به عنوان دوره آمده‌سازی مدل یا اصطلاحاً WARM UP اقدام به واسنجی رواناب در دو

جدول ۷. پارامترهای حساس به رواناب رودخانه، مقادیر حداقل و حداکثر آنها

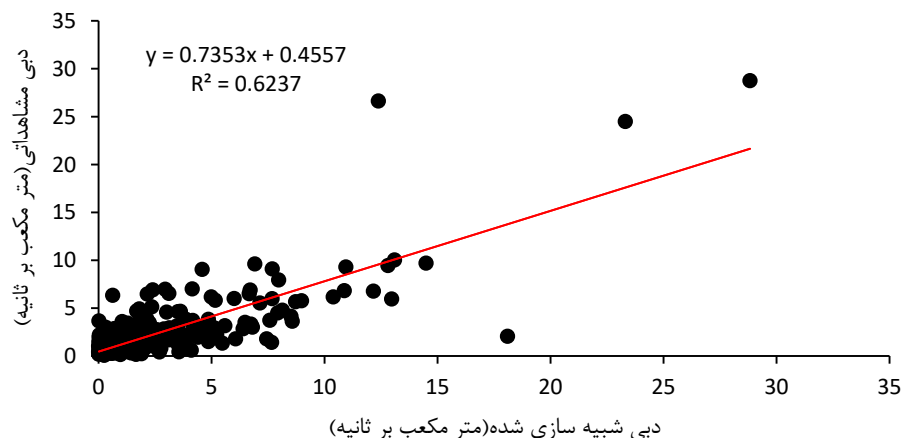
ردیف	پارامتر	معرفی پارامتر	حداقل	حداکثر
۱	Alpha_Bf	ضریب آب زیرزمینی	.	۱
۲	Alpha_Bnk	ضریب آب پایه برای ذخیره ساحلی کانال	.	۱
۳	Canmx	آب نگه داشته شده توسط پوشش گیاهی یا همان برگاب (mm H <sub>2</sub> O)	.	۱۰۰
۴	Ch_K2	هدایت هیدرولیکی مؤثر بستر رودخانه اصلی (mm/hr)	.	۱۵۰
۵	Ch_N2	ضریب مانینگ برای رودخانه اصلی	.	۱
۶	Cn2	شماره منحنی	۲۰	۹۰
۷	Esco	ضریب تبخیر خاک	.	۱
۸	Epc0	فاکتور جبران نگهدارش گیاهی	.	۱
۹	Gw_Delay	زمان تأخیر انتقال آب از آخرین پروفیل لایه خاک به سطح آب زیرزمینی (روز)	.	۵۰۰
۱۰	Gw_REVAP	ضریب تعیین نفوذ به آب زیرزمینی عمیق یا صعود مویینگی از سفره آب کم عمق	.	۱,۵
۱۱	Gwqmn	حداقل عمق موردنیاز سطح ایستادی در سفره‌های کم عمق برای وقوع جریان	.	۵۰۰۰
۱۲	Gw_Spyld	ضریب تولید ویژه سفره کم عمق	.	۰,۴
۱۳	Ov_N	ضریب مانینگ برای جریان سطحی	۰,۰۱	۳۰
۱۴	Rchrg_Dp	درصد تغذیه سفره عمیق از سفره کم عمق یا غیر محصور	.	۱
۱۵	Revapmn	حداقل مقدار ذخیره آب در سفره که برای شروع تبخیر آب زیرزمینی از طریق (mm H <sub>2</sub> O) موردنیاز است	.	۵۰۰
۱۶	Sftmp	(°C) متوسط دمای هوا برای تبدیل باران به برف	۵-	۵
۱۷	Shallst	(mm H <sub>2</sub> O) مقدار ذخیره سفره کم عمق در ابتدای شبیه‌سازی	.	۱۰۰۰
۱۸	Slope	(m/m) شیب متوسط زمین در هر	.	۰,۶
۱۹	Slsubbsn	(M) متوسط طول شیب در هر	۱۰	۱۵۰
۲۰	Smfmn	(mmH <sub>2</sub> O/°C-day) تراخ ذوب برف در ۲۱ دسامبر	.	۱۰
۲۱	Smfmx	(mmH <sub>2</sub> O/°C-day) تراخ ذوب برف در ۲۱ ژوئن	.	۱۰
۲۲	Smtmp	(C °) دمای ذوب توده بر	.	۲,۵
۲۳	Sol_Alb	ضریب آلبدوی خاک مرتبط	.	۰,۲۵
۲۴	Sol_Awc	ظرفیت آب قابل دسترس خاک	.	۱
۲۵	Sol_Bd	چگالی خاک در حالت مرتبط	۰,۹	۲,۵
۲۶	Sol_K	هدایت هیدرولیکی اشباع لایه‌های خاک (mm/hr)	.	۲۰۰۰
۲۷	Sol_Z	(mm) عمق لایه‌های خاک	.	۲۵
۲۸	Surlag	ضریب تأخیر رواناب	۱	۲۴
۲۹	Timp	فاکتور تأخیر دمای فشرده‌سازی برف	.	۱
۳۰	Tlaps	(°C/km) نرخ تغییرات دما با ارتفاع در هر زیر حوضه	.	۵۰
۳۱	CH-WDR	نسبت عرض به عمق رودخانه در هر زیر حوضه	.	۱۰۰۰
۳۲	LAT-TTIME	زمان تأخیر رسیدن جریان‌های زیر سطحی به رودخانه در هر HRU	.	۱۸۰

جدول ۸. نتایج حاصل از واسنجی و صحت سنجی ایستگاه‌های هیدرومتری منطقه مورد مطالعه

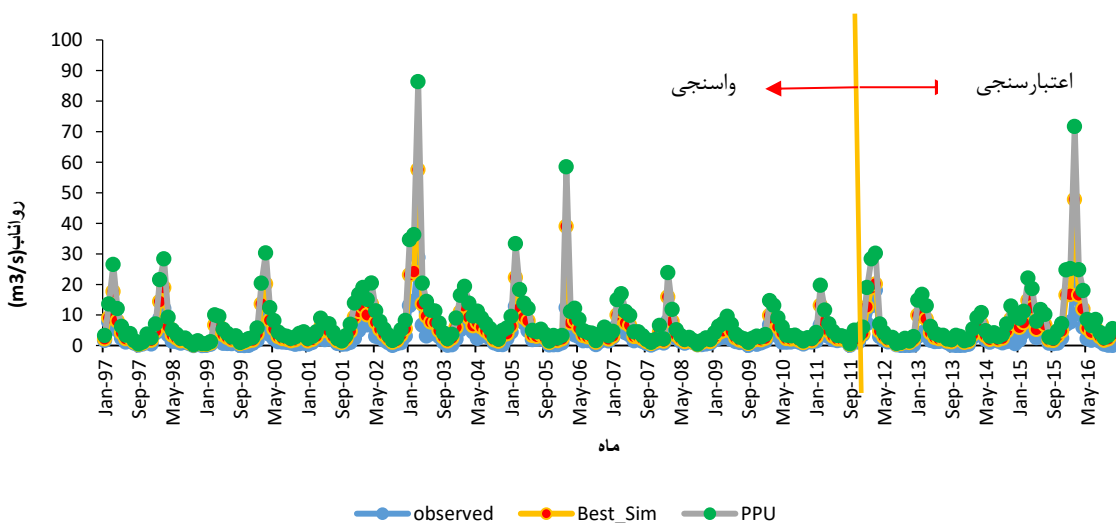
ردیف	ایستگاه	واسنجی	واسنجی	اعتبار سنجی						
R-FACTOR	P-FACTOR	R2	NSE	R-FACTOR	P-FACTOR	R2	NSE	ایستگاه	ردیف	
۱	آبگرم	۰/۹۰	۰/۸۲	۰/۵۶	۰/۵۳	۰/۴۷	۰/۷۱	۰/۸۹	.	۱
۲	فیروزآباد	۰/۱۳	۰/۵۳	۰/۵۱	۰/۳۲	۰/۳	۰/۶۷	۰/۶۴	.	۲



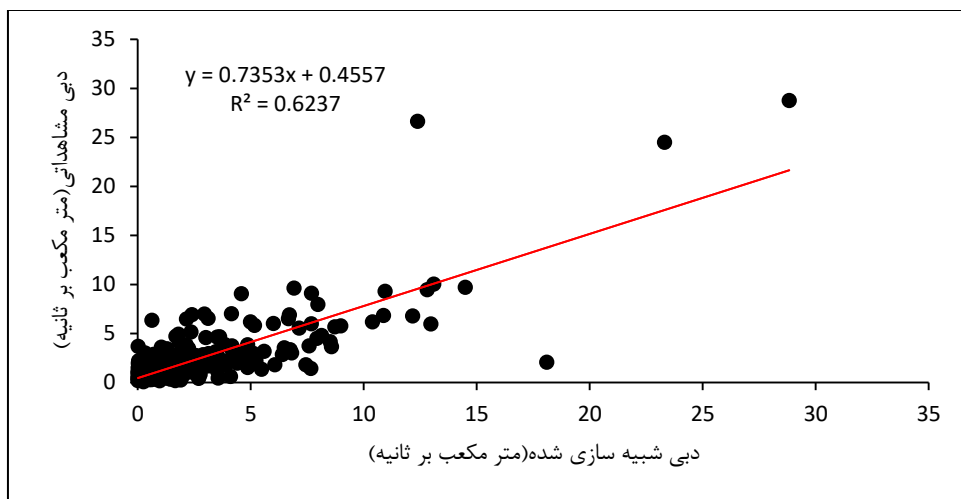
شکل ۶. مقایسه رواناب مشاهدهای و شبیه‌سازی شده ماهانه در دوره‌های واسنجی و صحت سنجی ایستگاه آبگرم



شکل ۷. پراکندگی نقطه‌ای دبی مشاهداتی در مقابل دبی شبیه‌سازی شده در دوره واسنجی و اعتبارسنجی



شکل ۸. مقایسه رواناب مشاهدهای و شبیه‌سازی شده ماهانه در دوره‌های واسنجی و صحت سنجی ایستگاه فیروزآباد



شکل ۹. پراکندگی نقطه‌ای دبی مشاهداتی در مقابل دبی شبیه‌سازی شده در دوره واسنجی و اعتبارسنجی

و همکاران، ۲۰۱۳) اشاره کرد که بیان داشتند تغییر کاربری اراضی در حوضه آبخیز رودخانه هویا<sup>۴</sup> در کره جنوبی تغییرات معنی‌داری را در تغییرات فصلی جریان رودخانه ایجاد کرده است. همچنین لاربی<sup>۵</sup> و همکاران (۲۰۱۹) میزان تأثیر تغییر کاربری اراضی بر اجزای موازن آب را با مدل SWAT بررسی کردند و در نتایجی مشابه نشان دادند که رشد مناطق شهری موجب افزایش مقاومت نفوذپذیری سطح خاک شده با افزایش مقدار رواناب همراه هست در مقابل جنگل‌کاری و ازدیاد حجم پوشش گیاهی موجب کاهش رواناب می‌شود. چمرا<sup>۶</sup> و همکاران (۲۰۲۰) و وویسا<sup>۷</sup> و همکاران (۲۰۲۱) نیز در تحقیقی مشابه گزارش کردند که افزایش سطح زمین‌های زیر کشت می‌تواند عملکرد آب را تهدید کند، زیرا این نوع پوشش زمین موجب افزایش تبخیر و تعرق شده، رواناب سطحی را کاهش می‌دهد. همچنین بیان داشتند که توزیع مناسب مزارع و ترکیب مناسب پوشش جنگلی و دامنه شیب مناسب می‌تواند تأثیر مثبتی بر عملکرد کل آب حوضه داشته باشد. همچنین در تحقیقات ضیایی و همکاران (۱۴۰۰)، ایلدرمی و همکاران (۱۳۹۶) و قدوسی و همکاران (۱۳۹۳) به کاهش رواناب خروجی در تغییرات کاربری اراضی با روند منفی اشاره شده است.

تأثیر تغییر کاربری اراضی روی جریان رودخانه شکل ۳۳-۴ متوسط رواناب ماهانه مشاهداتی و شبیه‌سازی شده برای دو ایستگاه هیدرومتری موجود در حوضه کیوی چای و جدول ۱۹-۴ مقدار رواناب ماهانه و درصد تغییرات آن را برای کاربری‌های ۱۹۸۷ و ۲۰۱۹ در حوضه آبریز نشان می‌دهد. با توجه به شکل مذکور و جدول ۱۹-۴ ملاحظه می‌شود که تغییر در کاربری اراضی باعث تغییر در میزان رواناب در خروجی حوضه شده است. با تغییر کاربری اراضی به سال ۲۰۱۹، میانگین جریان ماهانه در ایستگاه فیروزآباد و آبگرم در ماه‌های (ژانویه، فوریه، مارس، نوامبر و دسامبر) کاهش و در ماه‌های (آوریل، می، ژوئن، ژوئیه، آگوست، سپتامبر، اکتبر) افزایش یافته است. با این وجود در مقیاس سالانه میزان جریان در ایستگاه فیروزآباد از ۲/۸۱ به ۳/۰۸ متر مکعب بر ثانیه (۸/۷۷- درصد) و در ایستگاه آبگرم از ۱/۱۱ به ۰/۹۶ متر مکعب بر ثانیه (۱۳/۵۱)- کاهش یافته است. با توجه به اینکه در این مرحله از اجرای مدل تمام ورودی‌های مدل به جز کاربری اراضی ثابت در نظر گرفته شده است می‌توان این کاهش رواناب را ناشی از تغییرات کاربری اراضی بخصوص تغییر در کاربری مراتع و تبدیل آن به زراعت دیم و باغات و جنگل‌ها دانست. در اطمینان این تحقیق می‌توان به مطالعات مشابه (کیم<sup>۸</sup>

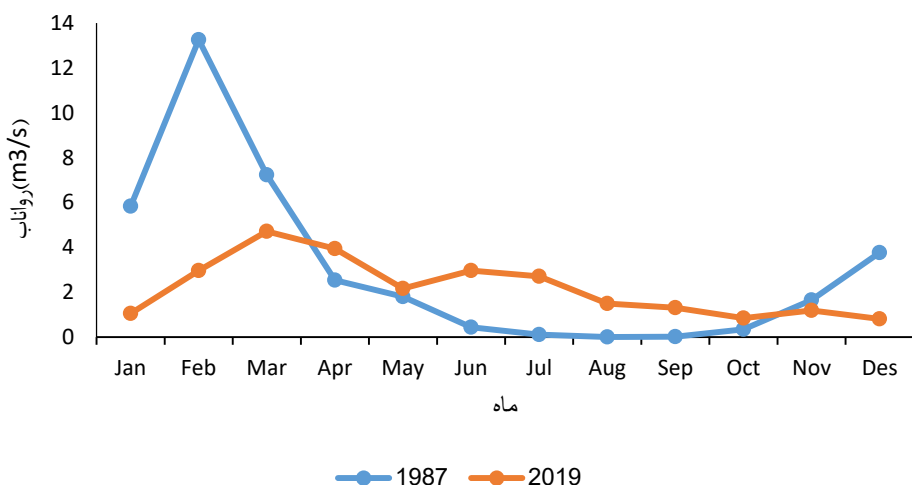
جدول ۹. مقادیر متوسط رواناب شبیه‌سازی شده برای کاربری‌های ۱۹۸۷ و ۲۰۱۹ و تغییرات نسبی آن

ماه	متوسط رواناب ماهانه برای کاربری ۱۹۸۷					متوسط رواناب ماهانه برای کاربری ۲۰۱۹					درصد تغییرات
	ایستگاه فیروزآباد	ایستگاه آبگرم	ایستگاه فیروزآباد	ایستگاه آبگرم	ایستگاه فیروزآباد	ایستگاه آبگرم	ایستگاه فیروزآباد	ایستگاه آبگرم	ایستگاه فیروزآباد	ایستگاه آبگرم	
ژانویه	-۶۳/۷۹	-۸۱/۹۹	-۰/۶۳	-۱/۰۵	-۱/۷۴	-۵/۸۳	-۰/۹۶	-۱/۱۱	-۸/۷۷	-۰/۷۷	-۲۰٪
فوریه	-۸۰/۲۳	-۷۷/۵۸	-۰/۸۵	-۲/۹۷	-۴/۳۰	-۱۳/۲۵	-۳/۰۸	-۲/۸۱	-۱۳/۵۱	-۱۳/۵۱	-۲۰٪
مارس	-۲۵/۵۹	-۳۴/۸۵	-۱/۸۹	-۴/۷۱	-۲/۵۴	-۷/۲۳	-۳/۰۸	-۲/۵۴	-۱۳/۵۱	-۱۳/۵۱	-۲۰٪
آوریل	۳۴/۲۶	۵۵/۱۲	۱/۴۵	۳/۹۴	۱/۰۸	۲/۵۴	۱/۰۸	۱/۰۸	۱۴/۰۰	۱۴/۰۰	۰٪
می	۱۷/۱۴	۵۶۰/۹۲	۱/۲۳	۲/۱۷	۱/۰۵	۱/۸۰	۰/۳۶	۰/۴۴	۵/۸۳	۵/۸۳	-۲۰٪
ژوئن	۲۶۱/۱۱	۵۲۷/۷۳	۱/۳۰	۲/۹۶	۰/۳۶	۰/۴۴	۰/۴۴	۰/۴۴	۱۳/۵۱	۱۳/۵۱	-۲۰٪

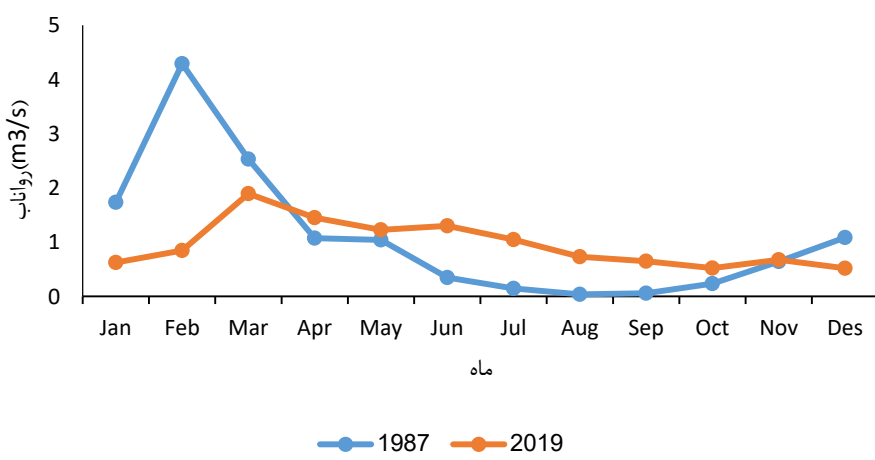
جدول ۹. مقادیر متوسط رواناب شبیه‌سازی شده برای کاربری‌های ۱۹۸۷ و ۲۰۱۹ و تغییرات نسبی آن

ماه	متوسط رواناب ماهانه برای کاربری ۱۹۸۷						درصد تغییرات
	ایستگاه فیروزآباد	ایستگاه آبگرم	ایستگاه فیروزآباد	ایستگاه آبگرم	ایستگاه فیروزآباد	ایستگاه آبگرم	
جولای	۰/۱۱	۰/۱۶	۲/۷۱	۱/۰۵	۴۳۱۰۰/۴۲	۲۳۶۳/۶۴	۵۵۶/۲۵
اوت	۰/۰۱	۰/۰۵	۱/۵۰	۰/۷۳	۱۴۲/۸۶	۴۳۱۰۰/۴۲	۱۳۶۰
سپتامبر	۰/۰۲	۰/۰۷	۰/۱۹	۰/۶۵	۱۴۹۰۰	۸۲۸/۵۷	۱۱۶/۶۷
اکتبر	۰/۳۵	۰/۲۴	۰/۸۵	۰/۵۲	-۲۸۷۳۱	۶۴۵۰	۴/۶۲
نوامبر	۱/۶۶	۰/۶۵	۱/۱۹	۰/۶۸	-۸/۷۷	۱۴۲/۸۶	-۵۲/۲۹
دسامبر	۳/۷۷	۱/۰۹	۰/۸۱	۰/۵۲	-۸/۷۷	۶۴۵۰	-۱۳/۵۱
سالانه	۳/۰۸	۱/۱۱	۲/۸۱	۰/۹۶	-۸/۷۷	۱۴۹۰۰	-۵۲/۲۹

فیروزآباد



آبگرم



شکل ۸. مقایسه متوسط رواناب ماهانه مشاهداتی و شبیه‌سازی ایستگاه‌های هیدرومتری فیروزآباد و آبگرم

### نتیجه‌گیری

شبیه سازی رواناب حوضه دارد همچنین مدل اجرا شده برای کاربری های مختلف زمین نشان داد که جریان حوضه در هر دو ایستگاه هیدرومتری با تغییر کاربری راضی در اکثر ماه ها در کوتاه مدت افزایش و در میانگین درازمدت کاهش می یابد. این امر را می توان ناشی از تغییرات کاربری اراضی بخصوص تغییر در کاربری مراتع و تبدیل آن به زراعت دیم و باغات و جنگل ها دانست. تداوم تغییر کاربری زمین در حال تبدیل شدن به یک تهدید جدی برای حوضه های آبریز است. تغییر کاربری اراضی باید در حوضه های آبریز کنترل شود و اقداماتی برای تثبیت تغییر کاربری زمین انجام شود. این مطالعه فقط جریان را شبیه سازی می کند، اما درک دینامیک رسوب در پاسخ به تغییر کاربری زمین و در نتیجه تأثیر آن بر مدیریت و بهره برداری حوضه برای مطالعات آینده مفید است. مقادیر پارامتر برای مدل کالیبره شده را می توان برای یک حوضه همگن پس از بررسی اعتبار این مقادیر برای حوضه جدید استفاده کرد. در نهایت، آموزش جامعه در مورد تأثیر شیوه های استفاده غیرقابل برنامه ریزی از زمین بر محیط زیست، منابع طبیعی و اکوسیستم از اهمیت بسیار بالایی برای پایداری آینده حوضه آب برخوردار است.

در این گزارش، داده های ماهواره ای با یک مدل هیدرولوژیکی برای ارزیابی اثرات تغییر کاربری زمین بر هیدرولوژی حوضه آبریز کیوی چای ادغام شد. استفاده از GIS و داده های سنجش از دور برای شناسایی و تجزیه و تحلیل پویایی مکانی - زمانی کاربری زمین مفید است. پیشرفت قدرت محاسباتی و درسترس بودن داده های مکانی و زمانی، مدل های منطقی آبی را به ابزارهای جذابی برای بررسی و تجزیه و تحلیل ویژگی های حوضه ها و نحوه عملکرد فرایند هیدرولوژیکی حوضه تحت دینامیک کاربری متفاوت تبدیل کرده است. بهویژه در این مطالعه، مدل سازی هیدرولوژیکی ابزاری مفید برای بررسی برهم کنش های بین اجزای حوضه و تحلیل پاسخ هیدرولوژیکی به کاربری اراضی در مقیاس های مکانی و زمانی مختلف است. بر اساس پژوهش صورت گرفته، نتایج زیر حاصل شد:

روند تغییرات کاربری اراضی حوضه بین سال های ۱۹۸۷-۲۰۱۹ در کاربری های کشاورزی دیم، مراتع و آب با روند کاهشی و در کاربری های کشاورزی آبی، باغ، جنگل و مسکونی با روند افزایشی همراه بوده است. بالا بودن مقدار برازش معیارهای بکار رفته در ارزیابی مدل بیانگر این است که مدل قابلیت خوبی در

### Reference:

- Agarwal, C, Green, GM, Grove, J M, Evans, T P and Schweik, CM. (2000): A review and assessment of land-use change models: dynamics of space, time, and human choice. US Department of Agriculture, Forest Service, Northeastern Research Station General Technical Report NE-297.
- Arnold, JG, Srinivasan, R, Muttiah, RS and Allen, PM. (1999): Continental scale simulation of the hydrologic balance. *J. Am. Water Resource Association*, 1037-1051.
- Bhatta B., Shrestha S., Shrestha PK., and Talchabhadel R. 2020. Modelling the impact of past and future climate scenarios on streamflow in a highly mountainous watershed: A case study in the West Seti River Basin, Nepal. *Science of the Total Environment*. Elsevier B.V 740: 140156. <https://doi.org/10.1016/j.scitotenv.2020.140156>.  
doi: 10.22034/hyd.2021.44819.1578
- Chemura, A., Rwasoka, D., Mutanga, O., Dube, T., & Mushore, T. (2020). The impact of land-use/land cover changes on water balance of the heterogeneous Buzi sub-catchment, Zimbabwe. *Remote Sensing Applications: Society and Environment*, 18, 100292.
- Getachew H.E., and Melesse A.M. 2012. The Impact of Land Use Change on the Hydrology of the Angereb Watershed, Ethiopia. M. Melesse: The Impact of Land Use Change (<http://creativecommons.org/licenses/by/3.0>)
- Kim, J., J. Choi, C. Choi, and S. Park. 2013. Impacts of changes in climate and land use/land cover under IPCC RCP scenarios on streamflow in the Hoeya River Basin, Korea. *Sci. Total Environ.* 2: 185-195
- Haleem, K., Khan, A. U., Ahmad, S., Khan, M., Khan, F. A., Khan, W., & Khan, J. (2021). Hydrological impacts of climate and land-use change on flow regime variations in upper Indus basin. In *Journal of Water and Climate Change* (Vol. 13, Issue 2, pp. 758–770). IWA Publishing. <https://doi.org/10.2166/wcc.2021.238>
- Haque M I, Basak R. 2017. Land cover change detection using GIS and remote sensing techniques: A spatio-temporal study on Tanguar Haor, Sunamganj, Bangladesh. *The Egyptian Journal of Remote Sensing and Space Sciences* 20 (2017) 251–263
- Larbi, I., Obuobie, E., Verhoef, A., Julich, S., Feger, K. H., Bossa, A. Y., & Macdonald, D. (2020). Water balance components estimation under scenarios of land cover change in the Vea catchment, West Africa. *Hydrological Sciences Journal*, 65(13), 2196-2209.
- Lerat, J.; Thyre, M.; McInerney, D.; Kavetski, D.; Woldemeskel, F.; Pickett-Heaps, C.; Shin, D.; Feikema, P. A robust approach for calibrating a daily rainfall-runoff model to monthly streamflow data. *J. Hydrol.* 2020, 591, 125129. [CrossRef]

- Maddi, Agil; Kind, Behnam; Ismali, Abazar. (2012). Landslide risk assessment and its zoning using LIM model and GIS technique in Givi Chai watershed, Ardabil. Scientific Journal of Geography and Planning 17(43), 307-326.
- Neitsch, S. L., Arnold, J. G., Kiniry, J. R., and Williams, J. R. 2011. Soil and water assessment tool theoretical documentation version 2009: Texas Water Resources Institute.
- Rajabi M , Feyzolahpour M . 2014. Zoning the Landslides of Givichay River Basin by Using Multi Layer Perceptron Model. Geography And Development Iranian Journal, 12(36), 161-180. doi: 10.22111/gdij.17160 (In Persian).
- Rashtbari, M., & TALEAI, M. (2020). Prediction of Land Use Change and its Hydrological Effects Using Markov Chain Model and SWAT Model. ENGINEERING JOURNAL OF GEOSPATIAL INFORMATION TECHNOLOGY, 7(4), 41-59. <https://www.sid.ir/en/journal/ViewPaper.aspx?id=746055>. [in Persian]
- Rezaei Moghaddam, M., Mokhtari, D., Samandar, N. (2022). Detection of the effect of land use change trends on discharge and sediment Simulated with SWAT model in Ojan Chay watershed. *Hydrogeomorphology*, 9(30), 24-1. doi: 10.22034/hyd.2021.42595.1557. [in Persian]
- Woyessa, Y. E., & Welderufael, W. A. (2021). Impact of land-use change on catchment water balance: a case study in the central region of South Africa. *Geoscience Letters*, 8(1), 1-10.
- Zeiae, K., esmali, A., Mostafazadeh, R., Golshan, M. (2021). Assessing the effects of various land use change scenarios on runoff using SWAT model in the Ahl Iman watershed. *Hydrogeomorphology*, 8(27), 138-123.

#### پاداشت‌ها

<sup>1</sup>Agarwal

<sup>2</sup>Soil and Water Assessment Tool

<sup>3</sup>Kim

<sup>4</sup>Hoeya

<sup>5</sup>Larbi

<sup>6</sup>Chemura

<sup>7</sup>Woyessa